

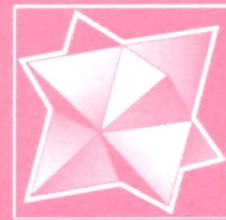
ISSN 0023-4761

Том 62, Номер 6

Ноябрь - Декабрь 2017



# КРИСТАЛЛОГРАФИЯ



<http://www.naukaran.com>



“НАУКА”

# СОДЕРЖАНИЕ

Том 62, номер 6, 2017

## ОБЗОРЫ

Методы анализа химического и фазового состава желчных камней

Е. И. Суворова, В. В. Пантиюшев, А. Э. Волошин

853

## ДИФРАКЦИЯ И РАССЕЯНИЕ ИОНИЗИРУЮЩИХ ИЗЛУЧЕНИЙ

Развитие ультразвуковых методов сканирования длины волн рентгеновского излучения

А. Е. Благов, Ю. В. Писаревский, П. А. Просеков,  
А. В. Таргонский, Я. А. Элиович, А. И. Проценко,  
М. В. Ковалчук

870

Исследование влияния замены растворителя –  $\text{H}_2\text{O}$  на  $\text{D}_2\text{O}$  – на начальную стадию кристаллизации лизоцима тетрагональной сингонии методом малоуглового рентгеновского рассеяния

А. С. Бойкова, Ю. А. Дьякова, К. Б. Ильина, П. В. Конарев,  
А. Е. Крюкова, М. А. Марченкова, А. Е. Благов, Ю. В. Писаревский,  
М. В. Ковалчук

876

## СТРУКТУРА НЕОРГАНИЧЕСКИХ СОЕДИНЕНИЙ

Кристаллическая структура твердого раствора  $\text{NH}_4\text{Al}_{0.62}\text{Cr}_{0.38}(\text{SO}_4)_2 \cdot 12\text{H}_2\text{O}$

В. Х. Сабиров

882

## СТРУКТУРА ОРГАНИЧЕСКИХ СОЕДИНЕНИЙ

Рентгеноструктурное исследование 4- и 4'-замещенных салицилиденанилинов  $\text{C}_n\text{H}_{2n+1}\text{O}-\text{C}_6\text{H}_3(\text{OH})-\text{CH}=\text{N}-\text{C}_6\text{H}_4-\text{C}_m\text{H}_{2m+1}$  ( $n/m = 2/1$  и  $3/4$ )

Л. Г. Кузьмина, М. А. Навасардян, А. А. Михайлов

889

Хелатные комплексы свинца(II) с нитрило-трис-метиленфосфоновой кислотой  $[\text{Pb}\{\mu^5\text{-NH}(\text{CH}_2\text{PO}_3\text{H})_3\}]$  и  $\text{Na}_4[\text{Pb}_2(\text{H}_2\text{O})_2\{\mu^3\text{-N}(\text{CH}_2\text{PO}_3)_3\text{H}_2\}_2] \cdot 10\text{H}_2\text{O}$ : синтез, структура, асимметрия неподеленной  $\delta\delta$ -пары

Н. В. Сомов, Ф. Ф. Чаусов, Р. М. Закирова, С. М. Решетников,  
А. С. Шишкин, М. А. Шумилова, В. А. Александров, В. Г. Петров

896

## СТРУКТУРА МАКРОМОЛЕКУЛЯРНЫХ СОЕДИНЕНИЙ

Малоугловое рентгеновское исследование строения макромолекул. Структура белка NS2 (NEP) в растворе

Э. В. Штыкова, Е. Н. Богачева, Л. А. Дацунова, С. М. Джессифрис,  
Н. В. Федорова, А. О. Головко, Л. А. Баратова, О. В. Батищев

907

Применение виртуального скрининга и молекулярной динамики для анализа селективности ингибиторов НУ белков, направленных на ДНК-распознавающий сайт

А. А. Талызина, Ю. К. Агапова, Д. Д. Подшивалов, В. И. Тимофеев,  
Д. Д. Сидоров-Бирюков, Т. В. Ракитина

917

Очистка, выделение, кристаллизация и предварительное рентгеноструктурное исследование ВТВ-домена белка Centrosomal Protein 190 из *Drosophila melanogaster*

К. М. Бойко, А. Ю. Николаева, Г. С. Качалова,  
А. Н. Бончук, В. О. Попов

923

Предварительные исследования ВТВ-домена белка LOLA  
из *Drosophila melanogaster* методами малоуглового рентгеновского  
рассеяния и рентгеноструктурного анализа

*К. М. Бойко, А. Ю. Николаева, Г. С. Качалова, А. Н. Бончук,  
П. В. Дороватовский, В. О. Попов*

926

Удаление карбоксильной группы D456 в расщепляющем скэфолде  
никазы *BspD6I* индуцирует глобальные конформационные изменения:  
структурный и электростатический анализ

*Г. С. Качалова, А. Н. Попов, А. К. Юнусова, Р. И. Артюх,  
Т. А. Перевязова, Л. А. Железная, Б. П. Атанасов*

930

## ФИЗИЧЕСКИЕ СВОЙСТВА КРИСТАЛЛОВ

Аномалии свойств в ряду смешанных кристаллов  
 $K_2Co_xNi_{1-x}(SO_4)_2 \cdot 6H_2O$

*Е. Б. Руднева, В. Л. Маноменова, М. В. Колдаева,  
Н. И. Сорокина, А. Э. Волошин, В. В. Гребенев,  
И. А. Верин, М. С. Лясникова, В. М. Масалов,  
А. А. Жохов, Г. А. Емельченко*

937

## ПОВЕРХНОСТЬ, ТОНКИЕ ПЛЕНКИ

Тонкие пленки системы  $Ga_2O_3$ – $In_2O_3$  на подложках сапфира:  
синтез и фотопроводимость в ультрафиолетовом  
диапазоне спектра

*А. Э. Муслимов, А. В. Буташин, А. Б. Колымагин,  
Б. В. Набатов, В. М. Каневский*

949

Эпитаксиальный рост пленок  $In_{0.5}Ga_{0.5}As$  в низкотемпературном  
режиме на подложках  $GaAs(100)$  и  $(111)A$  с метаморфным буфером

*Г. Б. Галиев, И. Н. Трунькин, Е. А. Климов, А. Н. Клочков,  
А. Л. Васильев, Р. М. Имамов, С. С. Пушкарев, П. П. Мальцев*

956

Исследование магнитных металлических периодических структур  
методами рентгеновской диагностики и электронной микроскопии

*Г. В. Прутков, Ю. М. Чесноков, А. Л. Васильев,  
И. А. Лихачёв, Э. М. Пашаев, И. А. Субботин*

965

## НАНОМАТЕРИАЛЫ, КЕРАМИКА

Исследования структурных особенностей наночастиц Со  
со структурой  $\epsilon$ -фазы, полученных разложением карбонила  
кобальта в присутствии ПАВ

*М. А. Герцен, В. И. Николайчик, В. В. Волков,  
А. С. Авилов, С. П. Губин*

970

Оптический анализ упаковки наночастиц после высыхания  
в микрокаплях

*М. В. Богданова, П. В. Лебедев-Степанов*

976

Сравнительное исследование структурно-морфологических  
особенностей биогенных и синтезированных  
наночастиц гетита

*А. А. Новакова, А. В. Должикова, В. М. Новиков,  
Н. М. Боева, Е. А. Жегалло*

981

## РОСТ КРИСТАЛЛОВ

Рост граней смешанных кристаллов  $K_2Co_xNi_{1-x}(SO_4)_2 \cdot 6H_2O$

*Д. А. Воронцов, А. Э. Волошин, В. В. Гребенев, Н. А. Васильева,  
Е. Л. Ким, В. Л. Маноменова, Е. Б. Руднева, В. М. Масалов,  
А. А. Жохов, Г. А. Емельченко*

986

Интерферометрическое исследование кинетики роста  
кристаллов  $K_2Co(SO_4)_2 \cdot 6H_2O$  и  $K_2Ni(SO_4)_2 \cdot 6H_2O$

*B. B. Гребенев, С. И. Ковалев, А. Э. Волошин,  
B. L. Маноменова, E. B. Руднева, D. A. Воронцов,  
H. A. Васильева, B. M. Масалов, A. A. Жохов,  
Г. А. Емельченко*

994

Связь зародышеобразования при гомогенной кристаллизации  
металлов с предкристаллизационной жидкой фазой

*A. M. Кац*

1004

## ПРИБОРЫ, АППАРАТУРА

Нейтронный времяпролетный рефлектометр “ГРЭИНС”  
с горизонтальной плоскостью образца на реакторе ИБР-2:  
возможности и перспективы

*M. B. Авдеев, B. I. Боднарчук, B. I. Петренко, I. B. Гапон,  
A. B. Томчук, A. B. Нагорный, B. A. Ульянов, L. A. Булавин,  
B. L. Аксенов*

1014

## ПРОГРАММНОЕ ОБЕСПЕЧЕНИЕ

Описание разупорядочения (Ближнего порядка) атомов  
в кристаллах методом смешанной симметрии

*A. П. Дудка, H. E. Новикова*

1022